

1        Контактные данные автора, ответственного за связь с редакцией

2    Павличенко Иван Александрович

3    Нижегородский госуниверситет им. Н.И. Лобачевского, 603022, г. Нижний Новгород,

4    пр.Гагарина, 23

5    контактный телефон +7 831 465-60-35

6    e-mail: pavlichenko@rf.unn.ru

8 **ВОЗБУЖДЕНИЕ ДВОЙНЫХ ПЛАЗМОННЫХ**  
9 **РЕЗОНАНСОВ В СФЕРИЧЕСКОЙ МЕТАЛЛИЧЕСКОЙ**  
10 **НАНОЧАСТИЦЕ**

11 И. А. Павличенко<sup>1</sup>, М. Р. Удалов<sup>1</sup>

12 <sup>1</sup> Нижегородский госуниверситет им. Н. И. Лобачевского, г. Нижний Новгород.

13

14 В работе теоретически исследуется нелинейное взаимодействие сферической метал-  
15 лической наночастицы с внешним электромагнитным полем с учетом пространствен-  
16 ной дисперсии и возбуждения второй гармоники. Впервые рассмотрен случай двойных  
17 плазмонных резонансов, когда одновременно частоты основной и удвоенной гармоник  
18 поля совпадают с частотой Ми и частотой одного из объемных плазмонов наночастицы,  
19 соответственно. На основе гидродинамической модели рассчитана средняя мощность  
20 потерь энергии в объеме наночастицы. Расчеты показали, что максимальное значение  
21 мощности потерь чувствительно к изменению величины диэлектрической проницаемо-  
22 сти среды, окружающей наночастицу, и заметным образом возрастает при выполнении  
23 условий возбуждения двойных резонансов. Полученные результаты показывают воз-  
24 можность использования данного эффекта для управления нелинейными оптическими  
25 свойствами наноструктур и нужд оптической диагностики.

# EXCITATION OF DOUBLE PLASMON RESONANCES IN A SPHERICAL METALLIC NANOPARTICLE

I. A. Pavlichenko, M. R. Udalov

In this paper, the interaction of electrons with phonons is investigated, with partial dispersion and second harmonic generation taken into account. For the first time, the case of double plasmon resonances is considered, where the frequencies of both the fundamental and doubled harmonic of the field simultaneously coincide with the Mie frequency and the frequency of one of the nanoparticle's volume plasmons, respectively. Based on the hydrodynamic model, the average power loss in the nanoparticle volume was calculated. The calculations show that the maximum power loss is sensitive to changes in the dielectric permittivity of the surrounding medium and increases significantly under double-resonance excitation conditions. The obtained results demonstrate the potential use of this effect for controlling the nonlinear optical properties of nanostructures and for optical diagnostics.

## 41 ВВЕДЕНИЕ

42 Металлические наноструктуры привлекают к себе большое внимание благодаря своим  
43 уникальным характеристикам, связанным с возможностью возбуждения в них плаз-  
44 монных резонансов на частоте падающего на наночастицу электромагнитного излуче-  
45 ния. Основной интерес к таким плазмонным наноструктурам обусловлен их способно-  
46 стью локализовать электромагнитные поля на нанометровых масштабах, существенно  
47 меньших дифракционного предела, что позволяет контролировать свойства оптически-  
48 го излучения на масштабах, намного меньших его длины волны [1, 2]. Благодаря плаз-  
49 монным резонансам в наноструктурах происходит существенное увеличение локальной  
50 плотности энергии поля, что приводит к возможности проявления в них различного ро-  
51 да нелинейных эффектов, таких как, например, многофотонная люминесценция [3–6],  
52 четырехволновое смешивание [7, 8, 10, 11] где "9"?! нужно проверить ссылки и генера-  
53 ция гармоник оптического излучения [12–14]. В частности, явление генерации второй  
54 гармоники в наноструктурах (возможность возникновения которого в ограниченных  
55 металлических объектах была впервые обнаружена экспериментально и объяснена тео-  
56 ретически в работах [15, 16]) является в настоящее время основой для широкого круга  
57 практических применений, включающего диагностику наноструктур и оптических сред  
58 (см., например, [17, 18]).

59 Важным фактором, благодаря которому наноструктуры и основанные на них ме-  
60 таматериалы могут служить эффективным инструментом для генерации второй гар-  
61 моники, является возможность резонансного усиления поля не только основной гар-  
62 моники оптического излучения, но и его второй гармоники при совпадении удвоенной  
63 частоты с собственной частотой другой плазмонной модой наноструктуры. К насто-  
64 ящему моменту явление двойного плазмонного резонанса исследовалось фактически  
65 только для наноструктур, обеспечивающих одновременное возбуждение двух различ-

ных поверхностных плазмонов наночастицы на основной и удвоенной гармониках па-  
дающего излучения [22, 23]. **22 до 19 !** Однако в общем случае в наноструктуре помимо  
поверхностных плазмонов могут существовать и объемные плазмоны [19–21, 24] – мо-  
ды коллективных электронных колебаний, представляющие собой стоячие плазменные  
(ленгмюровские) волны и возникающие из-за пространственной дисперсии. Объемные  
плазмоны, как известно, могут сильно проявлять себя в случае, когда источник возбуж-  
дения коллективных электронных колебаний находится внутри наночастицы и харак-  
теризуется неоднородным распределением поля, что, например, имеет место в задачах  
спектроскопии характеристических потерь энергии электронами (англ. Electron Energy  
Loss Spectroscopy) при прохождении пучка заряженных частиц через объем нанострук-  
туры [21, 25]. Подобная ситуация может возникнуть и в задачах генерации второй гар-  
моники, когда обусловленные нелинейностью токи второй гармоники, возбуждаемые  
при резонансе поверхностного плазмона на основной частоте колебаний, могут возбуж-  
дать объемные плазмонные колебания в наночастице. Данный эффект может иметь  
место, например, в случае наноструктуры простейшей формы, металлической сфери-  
ческой наночастицы, однако к настоящему моменту двойные плазмонные резонансы  
типа «поверхностный плазмон – объемный плазмон» фактически не были исследованы  
и являются предметом исследования данной работы.

В данной работе на основании гидродинамического подхода [26–28] исследуются  
нелинейные эффекты, обусловленные возникновением резонансов объемных плазмо-  
нов на удвоенной частоте в условиях, когда частота основной гармоники наночастицы  
также испытывает резонанс и совпадает с частотой дипольного поверхностного плазмо-  
на наночастицы (резонанс  $M_1$ ). Работа организована следующим образом: вначале на  
основе уравнений гидродинамики с использованием метода последовательных прибли-  
жений сформулированы краевые задачи, описывающие в квазистатическом приближе-

нии пространственное распределение поля и плотности заряда на основной и удвоенной гармониках внешнего поля в малой металлической наночастице произвольной формы. Далее описано решение этих задач применительно к случаю сферической наночастицы, и исследованы условия отвечающие условию возбуждения в наночастицах двойных резонансов типа поверхностный плазмон – объемный плазмон. В последующем разделе приведены результаты расчетов, иллюстрирующие влияние исследуемых резонансов на частотные зависимости сечения поглощения сферических наночастиц и сформулированы основные результаты работы.

## 1 ПОСТАНОВКА ЗАДАЧИ

Рассмотрим металлическую наночастицу произвольной формы, находящуюся в заданном внешнем поле падающей электромагнитной волны, помещенную в среду с диэлектрической проницаемостью  $\varepsilon_d$ . Как известно, достаточно подробное описание нелинейной динамики носителей в квазиклассическом приближении может быть получено с помощью набора уравнений гидродинамики (уравнение непрерывности и уравнение Эйлера), описывающих электронную плазму как сжимаемую заряженную жидкость [27, 29–31]. При построении физической модели двойных резонансов исследуемого типа будем считать выполненными ряд приближений, а именно будем предполагать, что (I) выполнены условия применимости квазистатического приближения для описания поля внутри и вблизи поверхности наночастицы и частица фактически находится во внешнем однородном переменном поле  $\mathbf{E}_0 e^{i\omega t}$ , (II) вклад в магнитную составляющую силы Лоренца, действующую на электроны в металле пренебрежимо мал, (III) электроны находятся внутри бесконечно глубокой потенциальной ямы, то есть будем пренебрегать эффектом размывания профиля электронной плотности близ границы металла (так называемый spill-out effect) [32–34], возникающим при учете давления электронов

и (IV) положительный заряд ионного остова с равномерной плотностью распределен по  
 объему наночастицы (предполагается, что в отсутствие внешнего поля электроны, как  
 и ионы, распределены равномерно по объему частицы с плотностью  $N_0$ , а диэлектри-  
 ческая проницаемость ионного остова материала частицы равна  $\varepsilon_\infty$ ). Описанные выше  
 условия (вместе с условиями применимости гидродинамического подхода) приводят к  
 следующим ограничениям на параметры задачи:

$$\frac{v_F}{\omega_p} \ll L \ll \frac{2\pi c}{2\omega\sqrt{\varepsilon_{d,\infty}}}, \quad v \ll c, \quad (1)$$

где  $v_F = \hbar(3\pi^2 N_0)^{\frac{1}{3}}/m$  — скорость Ферми,  $c$  — скорость света,  $e$  и  $m$  — заряд и масса  
 электрона,  $\hbar$  — постоянная Планка,  $L$  — характерный размер частицы,  $\omega$  — частота  
 внешнего поля,  $\omega_p = \sqrt{4\pi e^2 N_0/m}$  — плазменная частота. Принимаемые здесь прибли-  
 жения несколько сужают область применимости рассматриваемой модели, однако по-  
 скольку ранее двойные плазмонные резонансы обсуждаемого здесь типа фактически не  
 исследовались, такое упрощение модели представляется оправданным первым шагом на  
 пути построения более точной модели.

С учетом указанных предположений о характеристиках наночастицы и внешнего  
 поля, нелинейная динамика коллективных электронных колебаний в наночастице под-  
 чиняется системе уравнений:

$$\frac{\partial N}{\partial t} + \text{div}(N\mathbf{v}) = 0, \quad (2)$$

$$\frac{\partial \mathbf{v}}{\partial t} + \nu \mathbf{v} + (\mathbf{v}\nabla)\mathbf{v} = \frac{e}{m}\mathbf{E} - \frac{1}{mN}\nabla p, \quad (3)$$

$$\text{div } \mathbf{E} = \frac{4\pi}{\varepsilon_\infty}e(N - N_0), \quad (4)$$

где введены следующие параметры электронов:  $\mathbf{v}$  и  $N$  — скорость и концентрация элек-  
 тронов в металле,  $\nu$  — эффективная частота соударений,  $p$  — давление электронов. Кон-  
 кретный вид выражения для последней из перечисленных величин, фактически отвеча-  
 ющей за нелокальность поляризационного отклика плазмы, являлся предметом множе-  
 ства дискуссий и в настоящее время существует широкий спектр моделей, описывающих

138 эту величину применительно к различным условиям. В рамках рассматриваемой здесь  
 139 простой модели мы используем следующее феноменологическое уравнение состояния,  
 140 отвечающее исследуемому здесь случаю быстрого адиабатического процесса и позволя-  
 141 ющее получить из описанных выше уравнений (2), (3) известный закон дисперсии как  
 142 для поверхностных, так и для объемных плазмонов:

$$p = p_0(N/N_0)^\gamma, \quad p_0 = mv_F^2 N_0/5, \quad \gamma = 3. \quad (5)$$

143 Следуя обычной процедуре метода возмущений, применяемого в случае слабой нели-  
 144 нейности, представим в уравнениях неизвестные плотность электронов, скорость и на-  
 145 пряженность поля в виде суммы гармонических слагаемых, изменяющихся на частотах,  
 146 кратных частоте внешнего поля. Далее сопоставляя в получившихся уравнениях вели-  
 147 чины одинакового порядка малости, получаем следующие уравнения

$$\Delta\rho_n + k_{pn}^2\rho_n = -\frac{1}{4\pi r_0^2}\Delta\varphi_n^{(\text{ex})} + \left(k_{pn}^2 + \frac{1}{r_0^2\varepsilon_\infty}\right)\rho_n^{(\text{ex})}, \quad (6)$$

148

$$\Delta\varphi_n = -\frac{4\pi}{\varepsilon_\infty}\rho_n, \quad n = 1, 2, \quad (7)$$

149 определяющие комплексные амплитуды плотности заряда и потенциала поля для ос-  
 150 новной ( $n = 1$ ,  $\omega_1 = \omega$ ) и удвоенной ( $n = 2$ ,  $\omega_2 = 2\omega$ ) гармоник. В выражениях выше  
 151 величина  $r_0 = \sqrt{3}v_F/(\sqrt{5}\omega_p)$  имеет смысл характерного радиуса нелокальности плазмы  
 152 (с точностью до коэффициента совпадает с длиной Томаса-Ферми) и

$$k_{pn} = \sqrt{\frac{5[\omega_n(\omega_n - i\nu) - \omega_p^2/\varepsilon_\infty]}{3v_F^2}} \quad (8)$$

153 – волновое число продольной волны. Введенные в уравнениях (6), (7) величины  $\varphi_n^{(\text{ex})}$   
 154 и  $\rho_n^{(\text{ex})}$  играют фактически роль расположенных внутри плазмы сторонних источников  
 155 колебаний. Для первой гармоники они, очевидно, тождественно равны нулю ( $\varphi_1^{(\text{ex})} \equiv 0$ ,  
 156  $\rho_1^{(\text{ex})} \equiv 0$ ) и введены только для более краткой и единой записи результирующих урав-  
 157 нений. Для колебаний второй гармоники сторонние источники  $\varphi_2^{(\text{ex})}$ ,  $\rho_2^{(\text{ex})}$  определяются



158 следующим выражением

$$-2i\omega\rho_2^{(\text{ex})} = \frac{1}{2} \text{div } \rho_1 \mathbf{v}_1, \quad (9)$$

159

$$\varphi_2^{(\text{ex})} = \frac{m}{4e} \left( \frac{v_0^2}{N_0^2} N_1^2 + \mathbf{v}_1^2 \right), \quad (10)$$

160 и фактически имеют смысл сторонней плотности заряда (возникающей из-за нелиней-  
161 ного слагаемого в уравнении непрерывности (2)) и потенциала стороннего поля, (воз-  
162 никающего из-за нелинейности уравнения состояния (5) и из-за конвективного члена в  
163 уравнении (3)), осциллирующих на удвоенной частоте.

164 Система уравнений (7), (6) должна быть дополнена граничными условиями на по-  
165 верхности наночастицы. Первые из используемых нами граничных условий, вытекают  
166 непосредственно из уравнений Максвелла

$$\varphi_n|_S = \varphi_n^{(\text{out})}|_S \quad (11)$$

167

$$\varepsilon_\infty \frac{\partial \varphi_n}{\partial \mathbf{n}} \Big|_S = \varepsilon_d \frac{\partial \varphi_n^{(\text{out})}}{\partial \mathbf{n}} \Big|_S, \quad (12)$$

168 ( $S$  – поверхность наночастицы,  $\mathbf{n}$  – вектор нормали к этой поверхности) и связывают  
169 потенциалы электрического поля внутри наночастицы с соответствующими потен-  
170 циями  $\varphi_n^{(\text{out})}$  в окружающем ее однородном диэлектрике. Последнее, необходимое для  
171 однозначного решения сформулированных уравнений, граничное условие определяется  
172 характером движения электронов близ границы наночастицы. В случае принимаемого  
173 здесь условия зеркального отражения электронов от поверхности металла соответству-  
174 ющее граничное условие приобретает вид

$$\frac{\partial \psi_n}{\partial \mathbf{n}} \Big|_S = 0, \quad \psi_n = \varphi_n + 4\pi r_0^2 \rho_n + \varphi_n^{(\text{ex})}, \quad (13)$$

175 где  $\psi_n$  по сути имеют смысл потенциала скорости электронов на основной и удвоенной  
176 гармониках колебаний:

$$\mathbf{v}_n = -\frac{e}{i(\omega_n - i\nu)m} \nabla \psi_n. \quad (14)$$

Сформулированная система уравнений, как и в других работах, посвященных исследованию генерации второй гармоники в условиях двойных резонансов (см., например, [22, 36, 37]) где 35?, позволяет рассчитать структуру колебаний. Основным новым элементом здесь является здесь учет нелокальности поляризации плазмы не только для основной, но и для удвоенной гармоники, что позволяет описать возникновение резонансов объемных плазмонов на ее частоте. Как известно, поле объемных плазмонов сильно локализовано внутри наночастицы и соответствующие им резонансы обычно слабо проявляется в спектрах рассеянного излучения, однако как будет показано далее, возбуждение объемных плазмонов на удвоенной частоте может приводить к заметному изменению поглощаемой наночастицей мощности. Расчет спектров поглощения в рамках рассматриваемой модели может быть выполнен следующим образом. Потери энергии обусловлены наличием в уравнении (3) диссипативной силы, с плотностью  $m\nu n$ . Средняя за период плотность мощности этой силы очевидным образом может быть выражена через комплексные амплитуды плотностей потока и скоростей первой и второй гармоник. Интегрируя по объему наночастицы с учетом соотношений (6), (7) и граничного условия (13), приходим к следующему выражению для средней за период мощности потерь во всем объеме наночастицы:

$$Q = \frac{\nu}{2} \text{Re} \sum_{n=1,2} \frac{\omega_n}{i(\omega_n - i\nu)} \iiint \rho_n \psi_n^* dV. \quad (15)$$

## 2 ДВОЙНЫЕ РЕЗОНАНСЫ В СФЕРИЧЕСКОЙ НАНОЧАСТИЦЕ

Применительно к сферической наночастице радиуса  $a$ , помещенной в однородную среду с проницаемостью  $\varepsilon_d$ , решение линейной задачи, описывающей колебания на частоте внешнего поля, хорошо известно (см., например, [35]) и выражается через сферические

функции Бесселя  $j_n$ . Как можно показать, выражения для потенциала и плотности заряда в этом случае имеют следующий вид

$$C = \frac{-3\varepsilon_d E_0}{\varepsilon + 2\varepsilon_d[1 + (\varepsilon/\varepsilon_\infty - 1)G_1(a)]}, \quad (16)$$

$$\rho_1 = C \frac{-k_{p1}^2 a \omega_p^2}{4\pi\omega(\omega - i\nu)} G_1(r) \cos \theta, \quad \varphi_1 = Cr + \frac{4\pi\rho_1}{(k_{p1}a)^2 \varepsilon_\infty}, \quad (17)$$

$$G_m(r) = \frac{j_m(k_{p1}r)}{k_{p1}a j'_m(k_{p1}a)}, \quad \varepsilon = \varepsilon_\infty - \frac{\omega_p^2}{\omega(\omega - i\nu)}, \quad (18)$$

где  $a$  – радиус наночастицы,  $\theta$  и  $r$  – полярный угол (отсчитываемый от направления внешнего поля) и расстояние от центра наночастицы, соответственно. Последняя из величин (18) имеет смысл диэлектрической проницаемости металла в отсутствие нелокальности. Как можно увидеть из выражения (16), в рассматриваемой системе возможны резонансы, обусловленные совпадением частоты внешнего напряжения с частотами собственных плазмонных колебаний. Положение резонансных максимумов определяется близостью к нулю знаменателя в уравнении (16). Наиболее сильный из них, дипольный поверхностный плазмон (резонанс Ми), без учета пространственной дисперсии, зависит от диэлектрической проницаемости внешней среды, определяется выражением  $\omega^{(1,0)} \approx \omega_p / \sqrt{\varepsilon_\infty + 2\varepsilon_d}$ , и частота генерируемой в наночастице второй гармоники колебаний может лежать в области частот, отвечающей возможности возбуждения объемных плазмонов. Значения их резонансных частот определяются общим дисперсионным уравнением:

$$m\varepsilon + \varepsilon_d(m+1)(1 + m(\varepsilon/\varepsilon_\infty - 1)G_m) = 0, \quad (19)$$

( $m = 0, 1, 2, \dots$  – номер мультиполя), которое может быть также получено из решения однородной краевой задачи (6)-(13) в отсутствие внешнего поля. В интересующем нас случае слабой пространственной дисперсии  $r_0 \ll a$  значения резонансных частот слабо зависят от параметров окружающей среды и приближенно могут быть найдены из

$$\omega^{(m,k)}(\omega^{(m,k)} - i\nu) \approx \left( \frac{\eta^{(m,k)} v_F}{a} \right)^2 \frac{3}{5} + \frac{\omega_p^2}{\varepsilon_\infty}, \quad (20)$$

221 где  $\eta^{(m,k)}$  –  $k$ -й корень сферической функции Бесселя порядка  $m + 1$ . Из всех возмож-  
 222 ных условий двойных резонансов здесь представляет интерес рассмотрение случая с  
 223  $m = 0$  и  $m = 2$  (монопольные и квадрупольные объемные резонансы соответственно),  
 224 поскольку в случае сферической наночастицы, как можно увидеть из вида выраже-  
 225 ний для сторонних источников поля второй гармоники (9) (10), они могут возбуждать  
 226 только колебания монопольного и квадрупольного типов. Возможность возбуждения  
 227 двойных резонансов при изменении диэлектрической проницаемости внешней среды  
 228 проиллюстрированы на рисунке 1, где изображены зависимости резонансной частоты  
 229 дипольного поверхностного плазмона  $\omega^{(1,0)}$  от величины  $\varepsilon_d$ , при типичных для метал-  
 230 лических наночастиц значениях параметров  $v_F = 1.5 \cdot 10^8$  см/с,  $\omega_p = 5$  эВ,  $\nu/\omega_p = 0.02$ .  
 231 На графике также отмечены корни уравнения  $2\omega^{(1,0)} = \omega(m, k)$ , отвечающие условиям  
 232 возбуждения двойных резонансов. При уменьшении проницаемости  $\varepsilon_d$  частота второй  
 233 гармоники  $\omega_2 = 2\omega^{(1,0)}$  поочередно совпадает с частотами различных объемных мо-  
 234 нопольных и квадрупольных мод, что, как мы увидим далее, приводит к заметному  
 235 возрастанию мощности потерь.

236 На основании дисперсионного соотношения (19) также могут быть определены мни-  
 237 мые части резонансных частот (декременты затухания) всех плазмонных мод наноча-  
 238 стицы, которые в рамках рассматриваемой простой модели все оказываются равными  
 239  $\nu/2$ . В то же время, известно в случае сферических наночастиц, что основные меха-  
 240 низмы потерь (внутренние, поверхностные и радиационные потери) вносят различный  
 241 вклад в декременты затухания различных мультипольных поверхностных и объемных  
 242 резонансов. Ввиду предположения о малости размера частицы по сравнению с длиной  
 243 волны внешнего излучения мы здесь можем пренебречь радиационными потерями, од-

244 нако (в интересующем нас случае наночастицы малых размеров) поверхностные потери  
 245 могут приводить к заметному увеличению декремента затухания резонанса дипольного  
 246 поверхностного плазмона. Учет этих потерь проводится здесь известным образом: при  
 247 решении задачи о колебаниях на основной частоте  $\omega_1$  эффективная частота столкно-  
 248 вений  $\nu$  заменялась величиной равной  $\nu_{\text{dip}} = \nu + 3v_F/(4a\omega_p)$  [38]. При решении части  
 249 задачи, описывающей колебания на удвоенной частоте  $\omega_2$ , учет дополнительных меха-  
 250 низмов потерь фактически не требуется, поскольку для всех мультипольных объемных  
 251 плазмонов вклады в ширины их резонансных линий, вносимые поверхностными и ради-  
 252 ационными потерями оказываются оказываются  $\sim (r_0/a)^5$  и пренебрежимо малы [21].

253 При решении задачи о колебаниях на удвоенной частоте можно заметить, что раз-  
 254 личные слагаемые в выражениях для сторонних источников

$$\varphi_2^{(\text{ex})} = \frac{e}{4\pi\omega_p^2} \left[ (4\pi)^2 r_0^2 \rho_1^2 - \frac{\omega_p^2}{(\omega - i\nu)^2} (\nabla\psi_1)^2 \right], \quad (21)$$

$$\rho_2^{(\text{ex})} = \frac{e}{4m\omega(\omega - i\nu)} \left( -4\pi\rho_1^2 \frac{w(\omega - i\nu)}{\omega_p^2} + \nabla\psi_1 \nabla\rho_1 \right), \quad (22)$$

255 определяемые произведениями плотности заряда  $\rho_1$  и потенциала  $\psi_1$  при дипольных  
 256 ( $\sim \cos\theta$ ) колебаниях и их пространственных производных, содержат зависимость от  
 257 угловой координаты либо  $\cos^2\theta$ , либо  $\sin^2\theta$ . Последнее позволяет представить эти ве-  
 258 личины в виде произведений радиальных функций  $F_m^{\varphi,\rho}(r)$  на полиномы Лежандра  $P_m$ :

$$\varphi_2^{(\text{ex})} = \sum_{m=0,2} F_m^{\varphi}(r) P_m(\cos\theta), \quad (23)$$

$$\rho_2^{(\text{ex})} = \sum_{m=0,2} F_m^{\rho}(r) P_m(\cos\theta). \quad (24)$$

260 В силу ортогональности полиномов Лежандра и линейности уравнений (6),(7), неизвест-  
 261 ные плотность заряда и потенциал второй гармоники могут быть также представлены  
 262 в виде монопольной и квадрупольной составляющих

$$\varphi_2 = \sum_{m=0,2} R_m(r) P_m(\cos\theta), \quad (25)$$

$$\rho_2 = \sum_{m=0,2} \Phi_m(r) P_m(\cos \theta), \quad (26)$$

263 где  $R_m, \Phi_m$  – неизвестные радиальные функции. При этом система уравнений в частных  
 264 производных (6),(7) распадается на две независимые системы обыкновенных дифферен-  
 265 циальных уравнений, описывающих эти две мультипольные составляющие колебаний

$$(\hat{L}_m + \kappa_p^2) R_m = -\frac{1}{4\pi r_0^2} \hat{L}_m F_m^\varphi + \frac{2\omega(2\omega - i\nu)}{\omega_p^2 r_0^2} F_m^\rho, \quad (27)$$

266

$$\hat{L}_m \Phi_m = -\frac{4\pi}{\varepsilon_\infty} R_m, \quad \hat{L}_m = \frac{1}{r^2} \frac{\partial}{\partial r} \left( r^2 \frac{\partial}{\partial r} \right) - \frac{m(m+1)}{r^2}. \quad (28)$$

267 по-отдельности. Далее, пользуясь тем, что общий вид выражения для потенциала квад-  
 268 рупольных и монопольных колебаний вне сферической частицы известен, получаем из  
 269 (11)-(12) граничные условия для радиальных функций

$$\Phi_0(r=a) = 0, \quad \left( \Phi_2 + \frac{r\varepsilon_\infty}{3\varepsilon_d} \frac{\partial}{\partial r} \Phi_2 \right) \Big|_{r=a} = 0. \quad (29)$$

270

$$\frac{\partial}{\partial r} (\Phi_m + 4\pi r_0^2 R_m + F_m^\varphi) \Big|_{r=a} = 0. \quad (30)$$

271 Краевая задача (27)–(30) решалась численно на основе методов Галеркина и матрич-  
 272 ной прогонки. Получив значения радиальных функций, мощности потерь, отвечающие  
 273 монопольным и квадрупольным колебаниям, рассчитывались на основании выраже-  
 274 ний

$$Q_m = \frac{2\pi\nu}{2m+1} \operatorname{Re} \frac{2\omega}{i(2\omega - i\nu)} \int_0^a R_m (\Phi_m + 4\pi r_0^2 R_m + F_m^\varphi)^* r^2 dr, \quad m = 0, 2, \quad (31)$$

275 вытекающих из соотношения (15). Полная средняя за период колебаний мощность по-  
 276 терь  $Q$ , очевидно, представима в виде  $Q = \sum_{m=0}^2 Q_m$ , где вклад дипольной составляю-  
 277 щей

$$Q_1 = \frac{2\pi\nu}{3} \operatorname{Re} \frac{\omega}{i(\omega - i\nu)} \int_0^a R_1 (\Phi_1 + 4\pi r_0^2 R_1)^* r^2 dr. \quad (32)$$

### 278 3 РЕЗУЛЬТАТЫ РАСЧЕТОВ

279 На рисунках 2, 3 проиллюстрированы зависимости мощности потерь от частоты при  
280 различных значениях проницаемостей  $\varepsilon_\infty$  и  $\varepsilon_d$  и тех же модельных значениях парамет-  
281 ров наночастицы, что и на рисунке 1. Как видим, при двойных резонансах мощности  
282 потерь, обусловленные монопольными и квадрупольными колебаниями на удвоенной  
283 частоте (пунктирные и штрих-пунктирные кривые, соответственно) вносят заметный  
284 вклад в полную мощность (сплошные кривые), приводя к изменению формы резонанс-  
285 ной линии и максимального значения мощности по сравнению с линейным случаем  
286 (точечные кривые). Наиболее сильно этот эффект проявляется в случае возбуждения  
287 низших объемных мод (при больших значениях проницаемости  $\varepsilon_d$ ) и, что особенно ин-  
288 тересно отметить, имеет место при резонансе только монопольных колебаний, обычно  
289 не проявляющих себя в задачах взаимодействия лазерного излучения с наночастицами.  
290 С уменьшением проницаемости окружающей среды  $\varepsilon_d$  и, соответственно, увеличением  
291 индексов возбуждаемых объемных мод, вклад в полную мощность потерь от резонансов  
292 второй гармоники убывает ввиду уменьшения их коэффициентов возбуждения. Послед-  
293 нее обусловлено тем, что токи, возбуждающие вторую гармонику колебаний наиболее  
294 сильны вблизи границы наночастицы (так же, как и поле дипольного поверхностно-  
295 го плазмона), а поле объемных плазмонных колебаний (фактически представляющих  
296 собой стоячие сферические продольные волны) с увеличением номера резонанса все  
297 сильнее сосредоточено в центре наночастицы.

298 Говоря о возможности возбуждения исследуемого типа двойных резонансов в реаль-  
299 ных наночастицах, по-видимому следует отметить, что их возникновение невозможно  
300 в случае наиболее «традиционных» для наноплазмоники металлов (серебро и золото),  
301 поскольку они характеризуются существенным увеличением внутренних потерь в обла-  
302 сти возбуждения объемных плазмонов ( $\text{Re}\varepsilon \approx 0$ ), что ведет к фактически полному их

303 подавлению при возбуждении оптическим полем. В то же время, двойные резонансы по-  
 304 видимому могут проявлять себя в случае наночастиц из натрия, – металла, обладающе-  
 305 го рядом преимуществ для применения в наноплазмонике по сравнению с благородны-  
 306 ми металлами (см, например [doi:10.1088/0022-3727/49/7/075302, 10.1021/jp810808h]).  
 307 В качестве иллюстрации, на рисунке 4 изображены зависимости максимальной мощ-  
 308 ности потерь  $Q_{\max} = \max\{Q(\omega)\}$  от проницаемости  $\varepsilon_d$  для натриевых наносфер (при  
 309  $v_F = 1.07 \cdot 10^8$  см/с,  $\omega_p = 5.71$  эВ,  $\nu = 0.03$  эВ [10.1021/jp810808h]) радиуса 10 нм и 7  
 310 нм при интенсивности внешнего поля  $10^8$  Вт/см<sup>2</sup> и при интенсивности  $5 \cdot 10^7$  Вт/см<sup>2</sup>  
 311 для наночастицы радиуса 5 нм. Как видим, при параметрах, представляющихся вполне  
 312 реалистическими для задач наноплазмоники, двойные резонансы могут проявлять себя  
 313 и могли бы послужить основой для практических приложений.

314 Также важно отметить, что описываемые резонансы, наиболее сильно выраженные  
 315 в представленных расчетах при значениях  $\varepsilon_d \sim 1 \div 2$  (нетипичных для известных опти-  
 316 ческих сред), могут проявляться и в случае сферических металлических наночастиц,  
 317 покрытых слоем диэлектрика. Как может быть показано на основании уравнений (6),  
 318 (7) в случае металло-диэлектрической наноструктуры типа ядро-оболочка, дисперсион-  
 319 ное соотношение (19) оказывается справедливым, если заменить в нем диэлектрическую  
 320 проницаемость внешней среды  $\varepsilon_d$  эффективным значением,

$$\text{ПРАВИЛЬНАЯ ФОРМУЛА,} \quad (33)$$

321 определяемым параметрами оболочки (ее диэлектрической проницаемости  $\varepsilon_s$  и внут-  
 322 ренним и внешним радиусами  $a$  и  $b$ ). Таким образом исследуемые двойные резонансы в  
 323 принципе могут использоваться для контроля размеров оболочки при создании такого  
 324 типа наночастиц.



## 325 4 ЗАКЛЮЧЕНИЕ

326 В работе продемонстрировано, что в сферических металлических наноструктурах воз-  
327 можно возникновение нелинейных резонансных явлений, связанных с одновременным  
328 возбуждением дипольного поверхностного плазмона на частоте внешнего поля и объ-  
329 емных плазмонов на второй гармонике, возбуждаемой при его нелинейном взаимодей-  
330 ствии с наночастицей. Проведенные расчеты демонстрируют, что одновременное ре-  
331 зонансное усиление и основной и удвоенной гармоник поля приводит к увеличению  
332 мощности, поглощаемой наночастицей, приводя к изменению формы резонансных ли-  
333 ний и положения максимума ее на частотных зависимостях. Показано, что исследуемые  
334 двойные резонансы чувствительны к параметрам среды, окружающей наночастицу, и  
335 могут служить основой для нужд диагностики наночастиц и оптических сред.

## 336 5 БЛАГОДАРНОСТИ

337 Работа выполнена при поддержке Министерства науки и высшего образования Россий-  
338 ской Федерации (государственное задание FSWR-2023-0031).

## 339 **Список литературы**

- 340 [1] Maier S. A. Plasmonics: Fundamentals and Applications. New York: Springer, 2007.  
341 229 p.
- 342 [2] Gramotnev D. K., Bozhevolnyi S. I. // Nat. Photonics. 2010. V. 4. P. 83–91. doi:  
343 10.1038/nphoton.2009.282
- 344 [3] Castro-Lopez M., Brinks D., Sapienza R., van Hulst N. F. // Nano Lett. 2011. V. 11.  
345 P. 4674–4678. doi: 10.1021/nl202255g
- 346 [4] Biagioni P., Brida D., Huang J.-S., et al. // Nano Lett. 2012. V. 12, No. 7. P. 2941–2946.  
347 doi: 10.1021/nl300616s.
- 348 [5] Chen H., Sun M., Ma J., et al. // ACS Photonics. 2021. V. 8, No. 4. P. 1084–1092. doi:  
349 10.1021/acsphotonics.0c01747.
- 350 [6] Ko K.D., Kumar A., Fung K.H., et al. // Nano Lett. 2011. V. 11, No. 1. P. 61–65. doi:  
351 10.1021/nl102751m.
- 352 [7] Danckwerts M., Novotny L. // Phys. Rev. Lett. 2007. V. 98. 026104. doi:  
353 10.1103/PhysRevLett.98.026104.
- 354 [8] Harutyunyan H., Volpe G., Quidant R., et al. // Phys. Rev. Lett. 2012. V. 108. 217403.  
355 doi: 10.1103/PhysRevLett.108.217403.
- 356 [9] Li J.-B., Liang S., Xiao S., He M.-D., Kim N.-C., Chen L.-Q., Wu G.-H., Peng Y.-X., Luo  
357 X.-Y., Guo Z.-P. // Opt. Express. 2016. V. 24. P. 2360–2369. doi: 10.1364/OE.24.002360
- 358 [10] E. Paspalakis, S. Evangelou, S. G. Kosionis, and A. F. Terzis, J. Appl. Phys., vol. 115,  
359 no. 8, p. 083106, 2014, doi: 10.1063/1.4866424.

- [11] S. K. Singh, M. Kurtulus Abak, and M. E. Tasgin, Phys. Rev. B, vol. 93, no. 3, p. 035410, 2016, doi: 10.1103/PhysRevB.93.035410.
- [12] E. Drobnýh and M. Sukharev, J. Chem. Phys., vol. 152, no. 9, p. 094706, 2020, doi: 10.1063/1.5143238.
- [13] D. A. Smirnova, I. V. Shadrivov, A. E. Miroshnichenko, A. I. Smirnov, and Y. S. Kivshar, Phys. Rev. B, vol. 90, no. 3, p. 035412, 2014, doi: 10.1103/PhysRevB.90.035412.
- [14] Torres-Torres C. // Int. J. Nanomedicine. 2010. P. 925. doi: 10.2147/ijn.s12463
- [15] P. A. Franken, A. E. Hill, C. P. Peters, and G. Weinreich, Phys. Rev. Lett., vol. 7, no. 7, pp. 118–119, 1961, doi: 10.1103/PhysRevLett.7.118.
- [16] Bloembergen N., Pershan P. S. // Phys. Rev. 1962. V. 128, No. 2. P. 606–622. doi: 10.1103/physrev.128.606
- [17] J. Butet, P.-F. Brevet, and O. J. F. Martin, ACS Nano, vol. 9, no. 11, pp. 10545–10562, 2015, doi: 10.1021/acs.nano.5b04373.
- [18] Butet J., Russier-Antoine I., Jonin C. и др. // Nano Lett. 2012. V. 12, No. 3. P. 1697–1701. doi: 10.1021/nl300203u
- [19] Gildenburg V. B., Kondrat’ev I. G. // Radio Eng. Electr. Phys. 1965. V. 10, No. 4. P. 560.
- [20] Ruppín R. // Phys. Rev. B. 1975. V. 11, No. 8. P. 2871–2876. doi: 10.1103/physrevb.11.2871.
- [21] Gildenburg V. B., Kostin V. A., Pavlichenko I. A. // Phys. Plasmas. 2016. V. 23, No. 3. Art. no. 032120. doi: 10.1063/1.4944395.

- [22] Ai Q., Sterl F., Zhang H., Wang J., Giessen H. // ACS Nano. 2021. V. 15, No. 12. P. 19409–19417. doi: 10.1021/acsnano.1c05970
- [23] Thyagarajan K., Rivier S., Lovera A., Martin O. J. F. // Opt. Express. 2012. V. 20, No. 12. P. 12860–12870. doi: 10.1364/OE.20.012860
- [24] Elibol K., Downing C., Hobbs R. G. // Nanotechnology. 2022. V. 33, No. 47. Art. no. 475203. doi: 10.1088/1361-6528/ac8812.
- [25] Kryshchal A., Khshanovska O. // Sci. Rep. 2025. V. 15. Art. no. 5335. doi: 10.1038/s41598-025-88496-1.
- [26] Haas F. Quantum plasmas: An hydrodynamic approach. New York : Springer, 2011. 65 p.
- [27] Electromagnetic surface modes / ed. by A. D. Boardman. Chichester : Wiley, 1982. 770 p.
- [28] Manfredi G., Hervieux P.-A., Hurst J. // Rev. Mod. Plasma Phys. 2021. V. 5. P. 7. doi: 10.1007/s41614-021-00056-y
- [29] Forstmann F., Gerhardts R. R. Metal Optics Near the Plasma Frequency. Berlin : Springer-Verlag, 1986. 132 p.
- [30] Sipe J. E., So V. C. Y., Fukui M., Stegeman G. I. // Phys. Rev. B. 1980. V. 21. P. 4389–4396. doi: 10.1103/PhysRevB.21.4389
- [31] David C., García de Abajo F. J. // J. Phys. Chem. C. 2011. V. 115. P. 19470–19477. doi: 10.1021/nn5038527
- [32] Takeuchi T., Yabana K. // Phys. Rev. A. 2022. V. 106. Art. no. 063517. doi: 10.1103/PhysRevA.106.063517

- 403 [33] Jin D., Hu Q., Neuhauser D., von Cube F., Yang Y., Sachan R. [et al.] // Phys. Rev.  
404 Lett. 2015. V. 115, No. 19. Art. no. 193901. doi: 10.1103/PhysRevLett.115.193901
- 405 [34] Zhou Q., Li W., Zhang P., Chen X.-W. Calibrating quantum hydrodynamic model  
406 for noble metals in nanoplasmonics [physics.optics]. arXiv:2112.10099. 2021. doi:  
407 10.48550/arXiv.2112.10099
- 408 [35] Hua X. M., Gersten J. I. // Phys. Rev. B. 1986. V. 33, No. 6. P. 3756.
- 409 [36] Panoiu N. C., Sha W. E. I., Lei D. Y., Li G.-C. // J. Opt. 2018. V. 20, No. 8. Art.  
410 no. 083001. doi: 10.1088/2040-8986/aac8ed
- 411 [37] Beer S., Gour J., Alberucci A., David C., Nolte S., Zeitner U. D. // Opt. Express. 2022.  
412 V. 30, No. 22. P. 40884–40894. doi: 10.1364/OE.470578
- 413 [38] Hövel H., Fritz S., Hilger A., Kreibig U., Vollmer M. // Phys. Rev. B. 1993. V. 48,  
414 No. 24. P. 18178–18188. doi: 10.1103/PhysRevB.48.18178

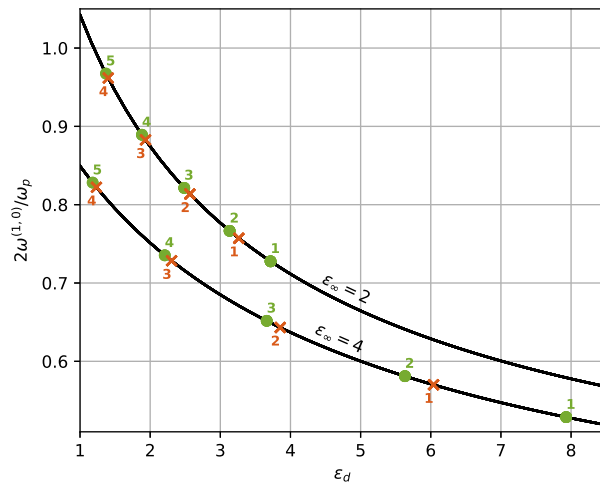


Рис. 1: Положение частоты основного дипольного поверхностного резонанса (сплошная линия) в зависимости от диэлектрической проницаемости внешней среды, а также положения резонансных частот при  $m = 0, 2$  (монопольные и квадрупольные объемные резонансы), при разной диэлектрической проницаемости ионного остова

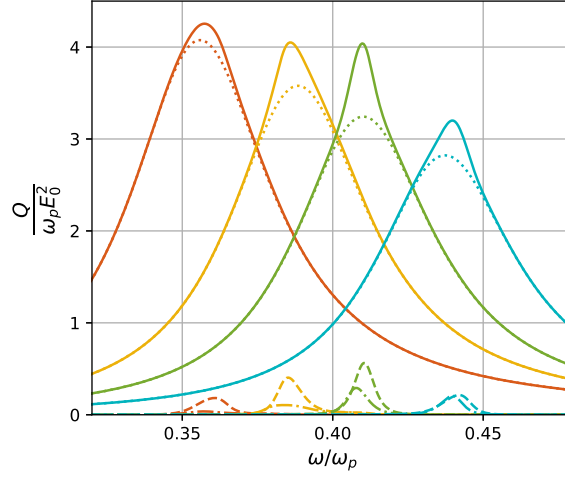


Рис. 2: Зависимость суммарной мощности потерь от частоты (сплошные кривые) для наночастицы с параметрами  $v_F = 1.5 \cdot 10^8$  см/с,  $\omega_p = 5$  эВ,  $\nu/\omega_p = 0.02$ ,  $\varepsilon_\infty = 2$  при различных значениях диэлектрической проницаемости внешней среды. Кривым с резонансными пиками, расположенными слева-направо, отвечают значения  $\varepsilon_d = 4, 3, 2.5, 2$ . Вклады от дипольной, монопольной и квадрупольной составляющих колебаний изображены точечными, пунктирными и штрих-пунктирными кривыми, соответственно.

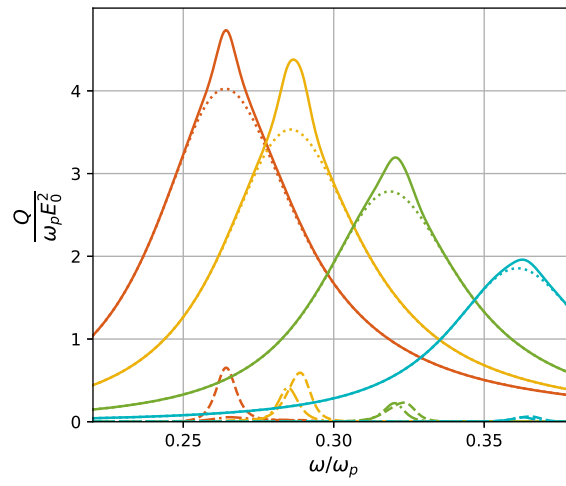


Рис. 3: То же, что и на рисунке 2, при  $\varepsilon_\infty = 4$ .



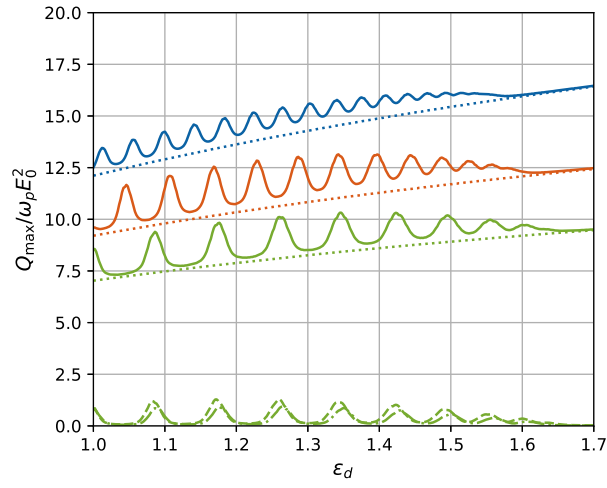


Рис. 4: Зависимости максимальной мощности потерь для сферических наночастиц натрия радиусом 10 нм, 7 нм, 5 нм сверху вниз соответственно. Сплошной линией указана полная мощность потерь, точечной линией – вклад в потери от дипольных колебаний. В нижней части графика для наночастицы радиусом 5 нм пунктиром и штрих-пунктиром показан вклад от монопольных и квадрупольных колебаний соответственно.